

Tabelle 1: Matrixgleichungen der FE-Modellierung

- (1) lineare Statik: $[K] \cdot \{u\} = \{F\}$
- (2) nichtlineare Statik: $[K(u, T, \dots)] \cdot \{u\} = \{F\}$
- (3) lineare Modalanalyse: $[M] \cdot \{\ddot{u}\} + [K] \cdot \{u\} = 0$
- (4) Modalanalyse mit Vorspannung: $[M] \cdot \{\ddot{u}\} + [K + S] \cdot \{u\} = 0$
- (5) Frequenzganganalyse: $[M] \cdot \{\ddot{u}\} + [C] \cdot \{\dot{u}\} + [K] \cdot \{u\} = \{F(t)\}$
- (6) Gekoppelte piezoelektrische Feldgleichung:

$$\begin{bmatrix} \mathbf{M} & \mathbf{0} \\ \mathbf{0} & \mathbf{0} \end{bmatrix} \cdot \begin{Bmatrix} \ddot{\mathbf{u}} \\ \ddot{\mathbf{\Phi}} \end{Bmatrix} + \begin{bmatrix} \mathbf{c} & \mathbf{0} \\ \mathbf{0} & \mathbf{c}_{\Phi} \end{bmatrix} \begin{Bmatrix} \dot{\mathbf{u}} \\ \dot{\mathbf{\Phi}} \end{Bmatrix} + \begin{bmatrix} \mathbf{K}_{uu} & \mathbf{K}_{u\Phi} \\ \mathbf{K}_{u\Phi}^t & \mathbf{K}_{\Phi\Phi} \end{bmatrix} \begin{Bmatrix} \mathbf{u} \\ \mathbf{\Phi} \end{Bmatrix} = \begin{Bmatrix} \mathbf{F} \\ \mathbf{Q} \end{Bmatrix}$$

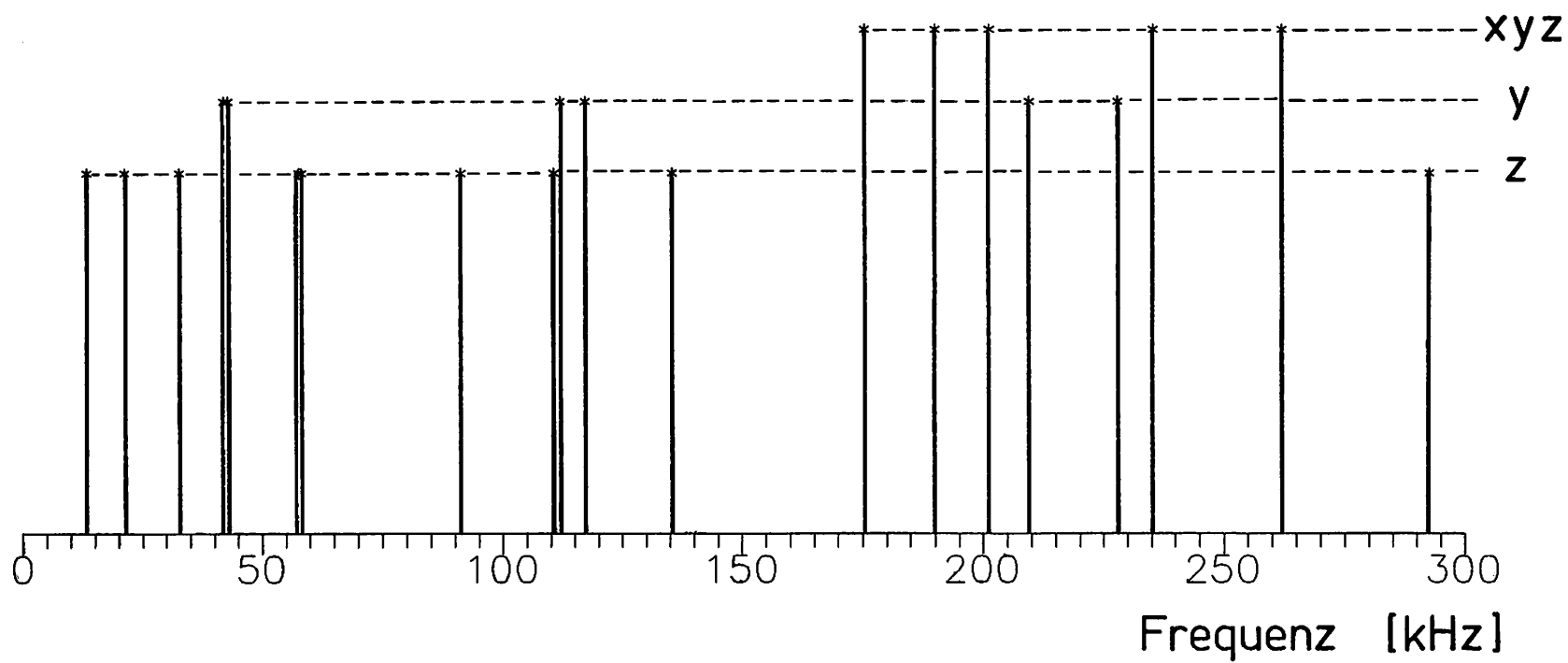
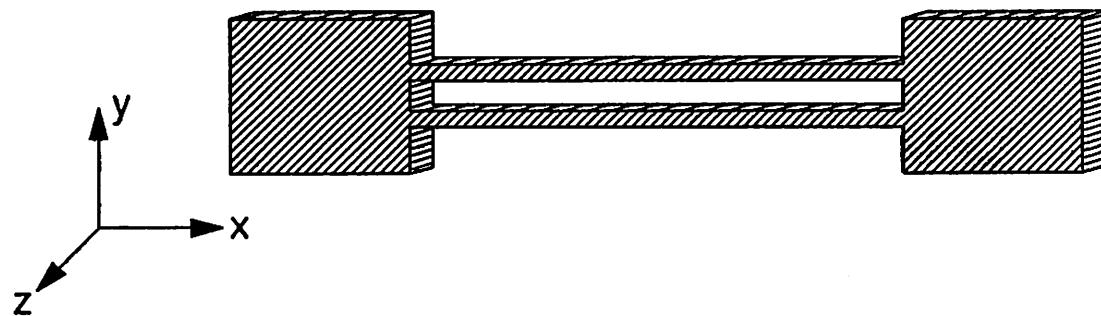
M, C, K : Massen-, Dämpfungs-, Steifigkeitsmatrix
 \ddot{u}, \dot{u}, u : Beschleunigungs-, Geschwindigkeits-, Verschiebungsvektor
 $F(t), S$: zeitabhängige Anregungskraft, Spannungsversteifungsmatrix
 Φ, Q : elektrisches Potential, elektrische Ladung an den Knoten
 C_ϕ : dielektrische Dämpfungsmatrix
 K_{uu} : elastische Steifigkeitsmatrix (= K)
 $K_{u\phi}$: piezoelektrische Kopplungsmatrix
 $K_{\phi\phi}$: dielektrische Steifigkeitsmatrix
 T : Temperatur

Abbildungsverzeichnis:

Bild 1: Modenspektrum einer Quarz-Doppelstimmgabel

Bild 2: Frequenz-Kraft-Kennlinien von Silizium-Kraftsensoren

Bild 3: Frequenzabhängiger Impedanzverlauf eines Silizium-Piezokeramik-Hybrids



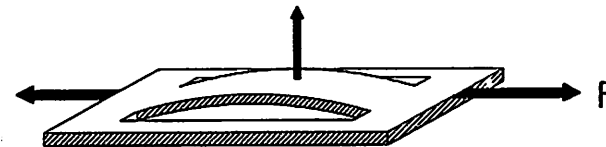
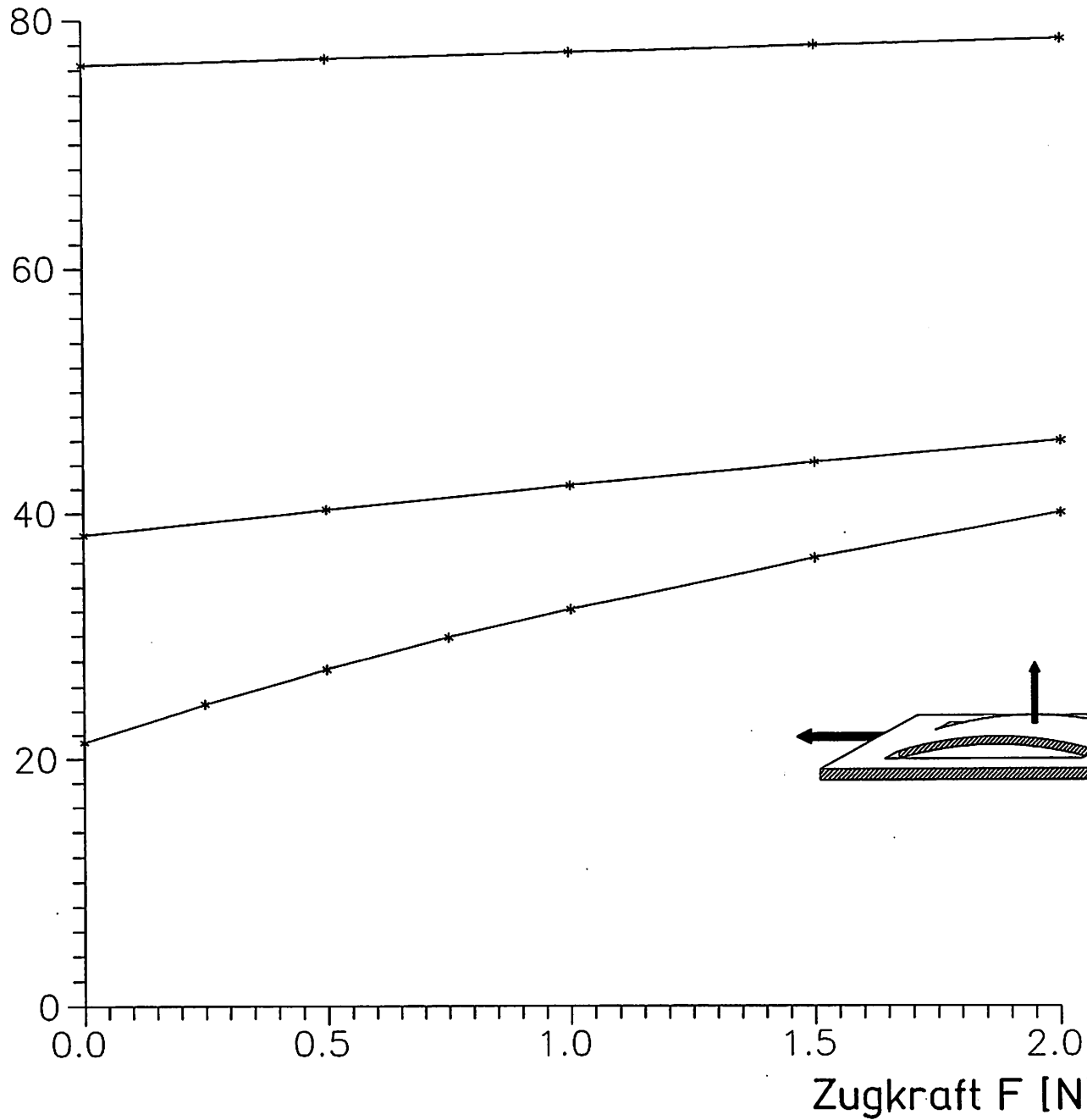
Frequenz [kHz]

Resonatordicke:

100 μm

50 μm

30 μm



Impedanz [dB]

